

## ایجاد پوشش سرامیکی $ZrO_2$ به روش اکسیداسیون الکترولیتی پلاسمایی و مطالعه تاثیر فازهای مونوکلینیک/تتراگونال بر مقاومت خوردگی پوشش

علی عیوض‌زاده<sup>۱</sup>، چنگیز دهقانیان<sup>۲</sup>، هادی عادل خانی<sup>۳\*</sup>

<sup>۱</sup> دانشجوی کارشناسی ارشد خوردگی و حفاظت از مواد، دانشکده مهندسی متالورژی و مواد پردیس دانشکده‌های فنی دانشگاه تهران

<sup>۲</sup> استاد، دانشکده مهندسی متالورژی و مواد، پردیس دانشکده‌های فنی دانشگاه تهران

<sup>۳</sup> دانشیار، پژوهشکده مواد و سوخت هسته‌ای، پژوهشگاه علوم و فنون هسته‌ای، سازمان انرژی اتمی ایران

\* hadelkhani@aeoi.org.ir , adelkhani@hotmail.com

### اطلاعات مقاله:

دریافت: ۲۵ آذر ۱۳۹۷

پذیرش: ۲۶ خرداد ۱۳۹۸

### چکیده:

در این پژوهش پوشش اکسید سرامیکی زیرکونیوم ( $ZrO_2$ ) به روش اکسیداسیون الکترولیتی پلاسمایی (PEO) روی آلیاژ زیرکونیوم zircaloy-4 ایجاد شده است. الکترولیت مورد استفاده در PEO بر پایه سدیم سیلیکات ( $Na_2SiO_3$ ) و سدیم آلومینات ( $NaAlO_2$ ) انتخاب شد و در غلظت ثابت سدیم سیلیکات (۱۰ گرم بر لیتر) تاثیر تغییر غلظت سدیم آلومینات (۰، ۲/۵، ۵، ۷/۵ و ۱۰ گرم بر لیتر) بر میکرو ساختار، ساختار فازی و رفتار خوردگی پوشش‌های ایجاد شده مورد مطالعه قرار گرفت. به منظور بررسی مورفولوژی و ساختار فازی پوشش‌های ایجاد شده به ترتیب از دستگاه میکروسکوپ الکترونی روبشی (SEM) و دستگاه پراش سنج اشعه ایکس (XRD) استفاده گردید. در مطالعه رفتار خوردگی پوشش‌های سرامیکی در محلول ۰/۵ LiOH مولار از روش پلاریزاسیون پتانسیودینامیک استفاده گردید. نتایج نشان داد که همه‌ی پوشش‌ها باعث بهبود عملکرد رفتار خوردگی می‌شود. همچنین افزودن  $NaAlO_2$  منجر به جلوگیری از تشکیل فاز مونوکلینیک شده و تثبیت فاز تتراگونال در الکترولیت شامل ۱۰ گرم بر لیتر سدیم آلومینات (A10) باعث کاهش دانسیته جریان خوردگی تا  $10^{-7} \times 10^{-7}$  میکرو آمپر بر سانتی‌متر مربع می‌شود. افزودن سدیم آلومینات به میزان ۱۰ گرم بر لیتر باعث تثبیت ۲۰ درصدی فاز تتراگونال می‌شود. بهبود عملکرد خوردگی پوشش‌های ایجاد شده به ساختار فازی پوشش‌ها بستگی دارد؛ به این صورت که در الکترولیت شامل ۱۰ گرم بر لیتر به دلیل بیشترین مقدار فاز تتراگونال بالاترین مقاومت به خوردگی نسبت به سایر نمونه‌ها دیده می‌شود.

### کلید واژه:

اکسید زیرکونیوم، پوشش سرامیکی، فازهای مونوکلینیک و تتراگونال، اکسیداسیون الکترولیتی پلاسمایی، مقاومت خوردگی

### ۱- مقدمه

خوب، مقاومت خزشی بالا؛ یکی از اجزای مهم در ساختار راکتورهای هسته‌ای به‌عنوان پوشش سوخت ولوله‌های تحت فشار هستند [۱-۴]. عواملی همچون نوع فرایند ساخت، ترکیب و غلظت محلول، دمای محیط کاری (تأثیر بروی

زیرکونیوم و آلیاژهای آن با توجه به خواص فوق‌العاده ذاتی از قبیل ضریب جذب نوترون کم، مقاومت به خوردگی



زیرکونیوم تشکیل می‌شود. زیرکونیا در اتمسفر تحت فشار دارای سه فاز مونوکلینیک، تتراگونال و کیوبیک است. اکسیداسیون در دماهای بالا و افزودن اکسیدهایی مانند  $CaO$ ،  $AlO_2$ ،  $Mg$ ،  $CeO_2$  و  $Y_2O_3$  باعث تثبیت فاز تتراگونال که شدیداً کریستالی بوده و پایداری بالایی دارد، منجر می‌شود [۱۴]. زیرکونیای تتراگونال به دلیل ساختار فشرده و منحصر به فرد نسبت به فاز مونوکلینیک و کیوبیک دارای سختی و چقرمگی بالاتری است و در عین حال مقاومت به خوردگی این فاز نسبت به سایر فازها بیشتر است [۱۵].

بر این اساس هدف از این تحقیق، بررسی اثر تغییرات غلظت سدیم آلومینات بر مقدار فاز تتراگونال تشکیل شده و تأثیر مقدار فاز تتراگونال بر مقاومت به خوردگی پوشش‌های ایجاد شده به روش اکسیداسیون الکترولیتی پلاسمایی بر روی زیرلایه فلز زیر کالوی-۴ می‌باشد.

## ۲- فعالیت تجربی

### ۲-۱- آماده‌سازی نمونه

نمونه‌های زیر کالوی-۴ مورد استفاده در راکتور هسته‌ای آب تحت فشار با برش لیزری به صورت ورق‌های با ابعاد  $4 \times 25 \times 25$  mm تهیه و به عنوان زیرلایه برای فرآیند پوشش دهی مورد استفاده قرار گرفت. از کاغذهای سمباده کاربرد سیلیسیم شماره ۱۲۰، ۳۲۰، ۴۰۰، ۶۰۰، ۸۰۰ به منظور ایجاد سطح صیقلی و حذف آلودگی‌های سطحی استفاده شد. بعد از چربی زدایی در محفظه تراسونیک حاوی استون به مدت ۲ دقیقه؛ نمونه‌ها توسط آب مقطر شستشو و در هوای گرم خشک گردید.

سرعت اکسیداسیون) و نفوذ هیدروژن سبب خوردگی زیرکونیوم در محیط داخل راکتور می‌شود. به منظور کنترل pH و نفوذ محصولات خوردگی به ساختار زیرکونیوم در حلقه اولیه سردکننده در آب سنگین راکتور CANDU و راکتورهای آب تحت فشار از محلول قلیایی با ترکیب  $LiOH$  استفاده می‌شود. از سوی دیگر حضور در محیط قلیایی  $LiOH$  در طی زمان‌های طولانی باعث خوردگی و کاهش عمر کاری این فلز می‌شود [۵-۷].

در طی سال‌های اخیر از طریق اصلاح ترکیب آلیاژ، روش‌های تولید، عملیات ترمومکانیکی و روش‌های مختلف اصلاح سطحی به بهبود خواص خوردگی زیرکونیوم پرداخته شده است. روش اکسیداسیون الکترولیتی پلاسمایی تکنیک الکتروشیمیایی است که با ایجاد پوشش‌های اکسیدی سرامیکی بر روی فلزات آلومینیوم [۸]، منیزیم [۹]، تیتانیوم [۱۰] و زیرکونیوم [۱۱] باعث بهبود خواص خوردگی می‌شود. از روش‌های شناخته شده که باعث ایجاد پوشش سرامیکی بر روی فلز زیرکونیوم و آلیاژهای آن می‌گردد؛ روش اکسیداسیون الکترولیتی پلاسمایی<sup>۱</sup> (PEO) می‌باشد [۱۲، ۱۳]. این روش اصلاح سطحی، روش نسبتاً جدید و مقرون به صرفه‌ای است که به دلیل ایجاد پوشش‌های سرامیکی نازک، سخت و چسبنده بر روی سطح فلزاتی همچون منیزیم، تیتانیوم، آلومینیوم و زیرکونیوم نقش مهمی در بهبود خواص خوردگی و سایشی این فلزات ایفا می‌کند. فرایند PEO با ایجاد میکرو جرقه‌ها و ایجاد محیط پلاسمای میکرو تخلیه الکتریکی همراه است. در محیط‌های دارای اکسیژن، اکسید سرامیکی زیرکونیا ( $ZrO_2$ ) بر روی

<sup>1</sup> Plasma Electrolytic Oxidation



## ۲-۲- اکسیداسیون الکترولیتی پلاسمایی

به منظور ایجاد پوشش‌های اکسیدی PEO از الکترولیت‌های با ترکیب مختلف سیلیکات و آلومینات استفاده شد. برای بررسی اثر غلظت یون آلومینات، پنج غلظت متفاوت از سدیم آلومینات در نظر گرفته شد؛ که ترکیب و غلظت الکترولیت‌های مورد آزمایش در جدول ۱ ارائه شده است. برای انجام این فرآیند از منبع تغذیه جریان پالسی با دانسیته جریان ۲۵۰ میلی‌آمپر بر سانتی‌متر مربع استفاده شد. برای کنترل دمای الکترولیت این فرآیند از سیستمی به صورت یک لوله به شکل ماریچ از جنس فولاد زنگ‌نزن ۳۱۶L استفاده شد؛ که به واسطه عبور جریان آب سرد دمای الکترولیت در حین فرآیند کمتر از ۳۷ درجه سانتی‌گراد نگه‌داشته شد. در طول فرآیند نمونه‌های زیرکونیومی به‌عنوان آند و بدنه ظرف به‌عنوان کاتد در نظر گرفته شد. سایر پارامترها مانند زمان پوشش دهی ۴ دقیقه، فرکانس ۱۰۰۰ هرتز و دوره کاری ۴۰ درصد برای تمام نمونه‌ها به صورت یکسان انتخاب شدند.

جدول ۱- الکترولیت سیلیکاتی-آلومیناتی و پارامترهای الکتریکی فرایند پوشش دهی

نمونه	pH	هدایت الکتریکی (mS/cm)	ولتاژ شکست (V)	ولتاژ نهایی (V)
A10	۱۲/۶۳	۲۶/۷۵	۱۵۴	۴۷۴
A7/5	۱۲/۷۸	۲۳/۵۴	۱۷۰	۴۸۴
A5	۱۲/۹۰	۲۱/۶	۱۹۸	۴۹۶
A2/5	۱۳	۱۷/۱۵	۲۴۰	۵۱۰
A0	۱۳/۰۵	۱۲/۴۴	۲۶۶	۵۴۵

## ۲-۳- مشخصه‌یابی پوشش

آنالیز فازی پوشش‌های ایجاد شده با دستگاه پراش مدل Philips Xpert با پرتوهای تابشی  $K\alpha$  ساطع شده از آند مسی با طول موج  $1/540$  انگسترم، طول گام  $0/04$  بر ثانیه و در گستره زوایای  $(2\theta)$  ۱۰ تا ۸۵ درجه برای تعیین فازهای تشکیل شده در پوشش استفاده شد. در ادامه به کمک نرم‌افزار X Pert HighScore Plus به تحلیل نمودارهای آنالیز فازی پرداخته شد. ضخامت پوشش با میکروسکوپ‌های الکترونی روبشی (SEM) مدل Cam Scan-MV2300 مورد بررسی قرار گرفت. به منظور بررسی اندازه ضخامت از نرم‌افزارهای آنالیز تصاویر Digimizer و Image Processing Lab استفاده شد. هدایت الکتریکی محلول نیز با استفاده از دستگاه هدایت سنج دیجیتالی مدل OLYMPUS اندازه‌گیری شد.

## ۲-۴- بررسی رفتار خوردگی

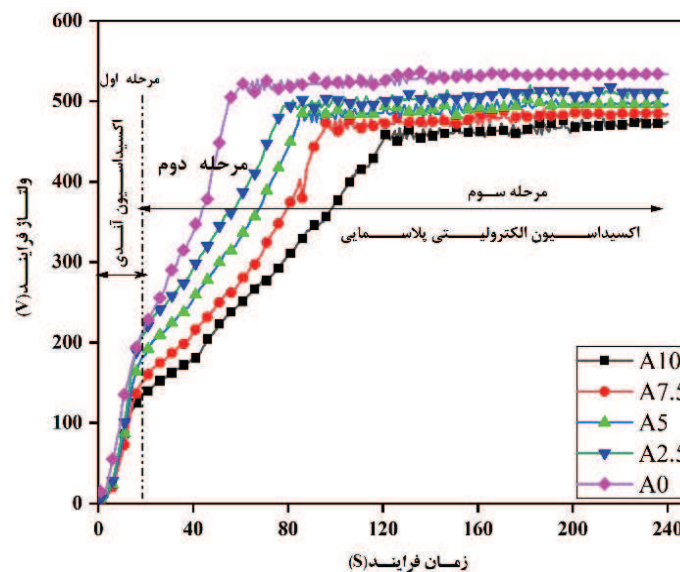
رفتار خوردگی پوشش‌ها با استفاده از روش آزمون پلاریزاسیون و با دستگاه مدل Solartron از  $0/3$ - ولت تا  $1$  ولت نسبت به پتانسیل مدار باز (OCP) و با نرخ رویش  $1\text{mV/s}$  انجام شد. آزمون‌های خوردگی این پوشش‌ها در یک سل شامل سه الکتروود: الکتروود کامل اشباع به‌عنوان الکتروود مرجع، ورق پلاتینی به‌عنوان الکتروود مقابل و نمونه پوشش دهی شده نیز به‌عنوان الکتروود کاری مورد ارزیابی قرار گرفت. محلول خورنده مورد آزمایش بر اساس محیط راکتورهای هسته‌ای، الکترولیت  $0/5\text{M LiOH}$  در نظر گرفته شد [۱۶]. به منظور تعیین مدت‌زمان موردنیاز برای غوطه‌وری نمونه‌ها جهت انجام آزمون، میزان تغییرات پتانسیل مدارباز به مدت یک ساعت در محلول ثبت گردید.



### ۳- نتایج و بحث

#### ۳-۱- منحنی ولتاژ-زمان فرآیند PEO

منحنی ولتاژ-زمان مربوط به نمونه‌های زیرکونیومی پوشش داده شده در غلظت‌های مختلف کترولیت در زمان ۴ دقیقه،



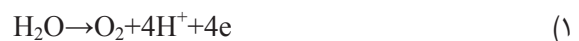
شکل ۱- منحنی ولتاژ- زمان فرآیند پوشش دهی در غلظت‌های مختلف کترولیت سدیم آلومینات



طبق واکنش‌های ۱ الی ۳، در حین مرحله اکسیداسیون آندی آنیون اکسیژن ( $O^{2-}$ ) در فصل مشترک لایه اکسیدی/کترولیت و کاتیون زیرکونیوم ( $Zr^{4+}$ ) در فصل مشترک زیرکونیوم/لایه اکسیدی تولید می‌شود. بانفوذ آنیون اکسیژن به سمت فلز زیرکونیوم و ترکیب با کاتیون  $Zr^{4+}$  طبق واکنش ۴، لایه مانع اولیه در سطح آند شکل می‌گیرد. در مرحله اکسیداسیون آندی با افزایش غلظت سدیم

در اولین مرحله که به‌عنوان اکسیداسیون آندی شناخته می‌گردد، ولتاژ به سرعت نسبت به زمان افزایش می‌یابد که باعث شکل‌گیری و افزایش ضخامت لایه نازک محافظ روئین (اکسیدی) بر روی سطح نمونه می‌شود. در مرحله اکسیداسیون آندی که حدوداً ۲۰ ثانیه طول می‌کشد جرقه‌های واضحی بر روی سطح زیرکونیوم دیده نمی‌شود. همچنین با افزایش غلظت سدیم آلومینات، نرخ افزایش ولتاژ افزایش نسبت به زمان افزایش می‌یابد.

مکانیسم ایجاد اکسید زیرکونیوم بر اساس واکنش‌های الکتروشیمیایی و شیمیایی در سطح آند به شکل زیر است:





آلومینات در داخل محلول شیب تغییرات ولتاژ نسبت به زمان کاهش یافت به طوری که شیب منحنی ولتاژ-زمان برای نمونه A0، A2/5، A5، A7/5، A10 به ترتیب ۱۰/۶۴، ۹/۶، ۷/۹۲، ۶/۸، ۶/۱۶ محاسبه و ثبت شد.

زمانی که لایه‌ی تشکیل شده از مرحله اکسیداسیون آندی به ضخامت بحرانی معینی می‌رسد، این لایه به‌عنوان یک محیط مقاوم برای عبور جریان عمل می‌کند، بنابراین ولتاژ برای ثابت نگه داشتن دانسیته‌ی جریان افزایش می‌یابد و شکست دی‌الکتریک در مکان‌هایی با ساختار ضعیف‌تر صورت می‌گیرد و تعدادی میکرو جرقه بر اثر تخلیه الکتریکی بر روی سطح رخ می‌دهد. این ضخامت بحرانی برای شکست دی‌الکتریک توسط ماهیت ماده‌ی فلزی آندایز شده، ترکیب و غلظت الکترولیت و نهایتاً توسط قدرت میدان در فیلم، مشخص می‌شود.

در مرحله دوم، ولتاژ نسبت به زمان افزایش می‌یابد (همانند مرحله اول ولی با شیب کمتر). در این مرحله با رسیدن به ولتاژ شکست<sup>۱</sup> جرقه‌های ریز و پرتعداد به‌صورت یکنواخت بر روی سطح نمونه مشاهده می‌شود که نشان از آغاز فرایند PEO است. در ناحیه‌ی اکسیداسیون آندی، جریانی که از پوشش اکسیدی عبور می‌کند، فقط توسط یونیزاسیون تونلی<sup>۲</sup> تأمین می‌شود [۱۷]؛ بنابراین نرخ ولتاژ بالاتری برای ثابت ماندن دانسیته‌ی جریان فرایند، مورد نیاز است. در این مرحله با افزایش پتانسیل، جریان برق هم به‌طور یکنواخت افزایش یافته و بمباران قطب منفی با یون‌های بیشتر و یون‌هایی با انرژی بیشتر صورت می‌گیرد. پس از شکست دی‌الکتریک، در طی مرحله‌ی ابتدایی PEO، تعداد زیادی از تخلیه‌های ریز و پرتعداد

بر روی سطح آند، ظاهر می‌گردد و ولتاژ فرایند به‌طور پیوسته افزایش می‌یابد، اما شیب منحنی ولتاژ زمان پایین‌تر از ناحیه‌ی اکسیداسیون آندی است. شیب منحنی ولتاژ زمان برای نمونه A0، A2/5، A5، A7/5، A10 به ترتیب ۱۰/۶۴، ۹/۶، ۷/۹۲، ۶/۸، ۶/۱۶ محاسبه و ثبت شد. این کاهش شیب ممکن است مربوط به تشکیل جرقه‌هایی باشد که توسط جریان الکترونی حمایت می‌شوند. در این قسمت علاوه بر الکترون‌های ثانویه، الکترون‌های حرارتی نیز از قطب منفی ساطع شده و تخلیه‌ی الکتریکی را تشدید می‌کنند [۱۷]. بنابراین در این مرحله جریان کلی از مجموع یونیزاسیون تونلی و یونیزاسیون حرارتی<sup>۳</sup> تشکیل می‌شود. از این رو رشد ولتاژ نسبتاً کمتری نسبت به ناحیه‌ی اکسیداسیون آندی برای ثابت ماندن دانسیته‌ی جریان کافی مورد نیاز است.

در پایان مرحله دوم با عبور از ولتاژ بحرانی، شیب تغییرات ولتاژ برای هر سه نمونه نسبت به زمان نزدیک به صفر است و تغییرات ولتاژ به حالت پایدار می‌رسد. ولتاژ این مرحله تحت عنوان ولتاژ نهایی<sup>۴</sup> شناخته می‌شود. با رسیدن به مرحله سوم، نسبت به مرحله دوم اندازه میکرو جرقه‌ها بزرگ‌تر و همچنین تعداد جرقه‌ها کمتر شده که منجر به افزایش قابل ملاحظه جریان الکترونی می‌شود.

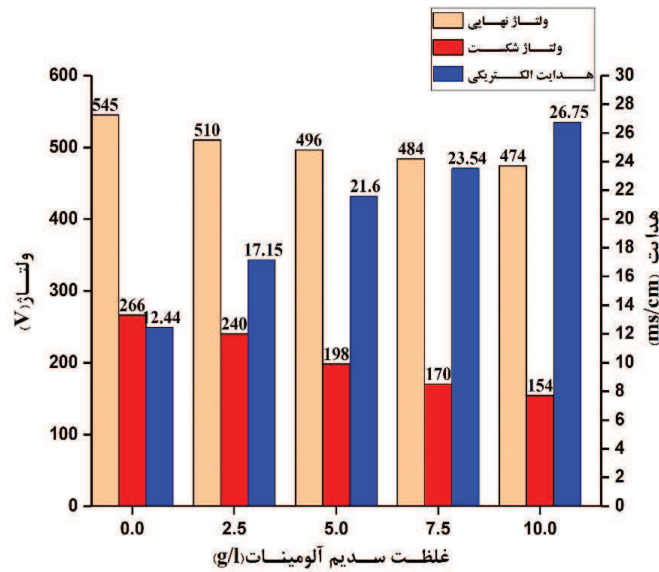
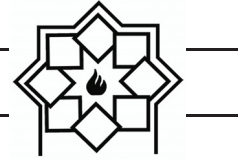
مقادیر ولتاژ شکست و ولتاژ نهایی الکترولیت پایه سیلیکاتی-آلومیناتی در جدول ۱ نشان داده شده است. اثر شکست دی‌الکتریک و ولتاژ نهایی، وابستگی شدیدی به ترکیب و هدایت یونی الکترولیت دارند. ارتباط بین هدایت یونی الکترولیت، ولتاژ شکست دی‌الکتریک و ولتاژ نهایی برای پنج نمونه مختلف در شکل ۲ گزارش شده است.

<sup>3</sup> Thermal ionization

<sup>4</sup> Final voltage

<sup>1</sup> Break down voltage

<sup>2</sup> Tunneling ionizations



شکل ۲- ارتباط بین هدایت یونی الکترولیت، ولتاژ شکست دی الکتریک و ولتاژ نهایی

شکل ۱ نشان می‌دهد که با افزایش غلظت سدیم آلومینات از ۰ تا ۱۰ گرم بر لیتر به دلیل افزایش هدایت یونی الکترولیت و قدرت یونی؛ ولتاژ شکست از ۲۶۶ تا ۱۵۴ ولت و ولتاژ نهایی از ۵۴۵ تا ۴۷۴ ولت کاهش می‌یابد.

### ۳-۲- ساختار بلوری

شکل ۳ الگوی پراش پرتو ایکس نمونه‌های پوشش دهی شده در غلظت‌های مختلف الکترولیت را نشان می‌دهد. اکسید زیرکونیوم بنا به شرایط ترمودینامیکی و شرایط دمایی و نوع مواد استفاده کننده در الکترولیت دارای سه فاز می‌باشد؛ به این صورت که مونوکلینیک در دمای زیر  $1000^{\circ}\text{C}$ ، تتراگونال بین دمای  $1000^{\circ}\text{C}$  تا  $1500^{\circ}\text{C}$  و در نهایت کیوبیک بالای  $1500^{\circ}\text{C}$  پایدار می‌باشند. به منظور تعیین نسبی فازهای مونوکلینیک و تتراگونال به صورت کمی از رابطه ۶ پیشنهاد شده توسط تورایا<sup>۱</sup> استفاده شد [۱۹]:

<sup>۱</sup> Toraya

از طریق مدل تئوریک پیشنهاد شده توسط ایسکونوسیف [۱۸]، ارتباط بین ولتاژ شکست و هدایت یونی الکترولیت به صورت رابطه ۵ بیان می‌شود:

$$V_B = a_B + b_B \log\left(\frac{1}{k}\right) \quad (5)$$

در این رابطه  $V_B$ ،  $a_B$  و  $b_B$  و  $k$  به ترتیب عبارت‌اند از: ولتاژ شکست، ثابت معین برای فلز، ثابت معین برای الکترولیت و هدایت یونی الکترولیت؛ بنابراین به دلیل حضور آنیون  $(AlO_2^{-2})$  و کاتیون  $(Na^+)$  در الکترولیت‌های حاوی سدیم آلومینات، مقدار هدایت یونی الکترولیت ( $k$ ) افزایش یافته و یون‌های آنیونی با سرعت بیشتری به لایه اکسید نفوذ می‌کند که منجر به افزایش چگالی بار الکترون‌های اولیه باند هدایت لایه اکسید می‌شود و در نهایت ولتاژ مورد نیاز برای شکست لایه اکسیدی در مرحله دوم کاهش می‌یابد. از طرف دیگر با افزایش غلظت سدیم آلومینات در داخل الکترولیت، قدرت یونی محلول افزایش یافته و در نتیجه ضخامت لایه دی الکتریک کاهش می‌یابد. نتایج حاصل از



جدول ۲- مقادیر فاز تشکیل شده فاز مونوکلینیک و تترائگونال به دست آمده از الگوی پراش پرتو ایکس پوشش های PEO

کد نمونه	فازهای تشکیل شده	مقدار فاز (% ±/۳)	
		مونوکلینیک	تترائگونال
A۰	مونوکلینیک - تترائگونال	۹۶	۴
A۲/۵	مونوکلینیک - تترائگونال	۹۰	۱۰
A۵	مونوکلینیک - تترائگونال	۹۰	۱۰
A۷/۵	مونوکلینیک - تترائگونال	۸۶	۱۴
A۱۰	مونوکلینیک - تترائگونال	۸۰	۲۰

بر اساس شکل ۳ مشخص شد که در پوشش های اکسیدی، زیرکونیای مونوکلینیک (m-ZrO<sub>2</sub>, JCPDS card no 37-1484) به عنوان فاز غالب و مقدار کمی فاز زیرکونیای تترائگونال (t-ZrO<sub>2</sub>, JCPDS card no 42-1164) وجود دارد. دمای بالا در حین فرایند PEO باعث تشکیل فاز تترائگونال می شود. از طرف دیگر بر اساس نتایج نتایج جدول ۲ میزان حضور فاز تترائگونال وابستگی شدیدی به حضور و عدم حضور و همچنین غلظت سدیم آلومینات در الکترولیت دارد. گزارش شده است که افزودن اکسید NaAlO<sub>2</sub> به زیرکونیای خالص باعث تشکیل زیرکونیای جزئی پایدار (t-ZrO<sub>2</sub>) و تثبیت فاز تترائگونال می شود. مشاهده شد که الکترولیت با غلظت بالای سدیم آلومینات (نمونه A۱۰) بیشترین مقدار t-ZrO<sub>2</sub> تثبیت شده و با کاهش غلظت سدیم آلومینات میزان t-ZrO<sub>2</sub> کاهش می یابد، به طوری که در نمونه A0 (الکترولیت بدون سدیم آلومینات) کمترین مقدار

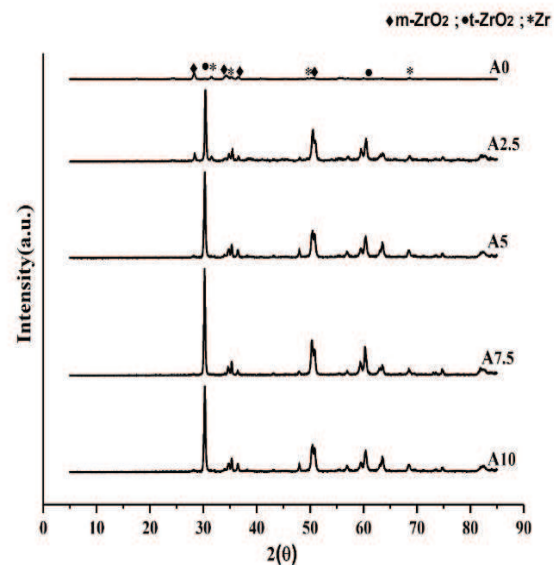
$$V_m = \frac{1.311X_m}{1 + 0.311X_m} \quad (6)$$

$$V_t = 1 - V_m$$

در این رابطه X<sub>m</sub> کسر جرمی فاز مونوکلینیک است که از رابطه ۷ ارائه شده توسط قاروی<sup>۱</sup> و نیکلسون<sup>۲</sup> محاسبه می شود [۱۹]:

$$X_m = \frac{I(\bar{1}11)_m + I(111)_m}{I(\bar{1}11)_m + I(111)_m + I(101)_t} \quad (7)$$

که در این رابطه I(111)<sub>m</sub> و I(̄111)<sub>m</sub> به ترتیب شدت پیک فاز مونوکلینیک در ۲۸/۲°C و ۳۱/۵°C و I(101)<sub>t</sub> شدت پیک فاز تترائگونال در ۳۰/۲°C است. کسر حجمی فاز مونوکلینیک به تترائگونال از روابط ۲ و ۳ محاسبه شد و در جدول ۲ ارائه گردید.



شکل ۳- ترکیب فازی پوشش های ایجاد شده در الکترولیت های مختلف

<sup>1</sup> Nicholson

<sup>2</sup> Garvie

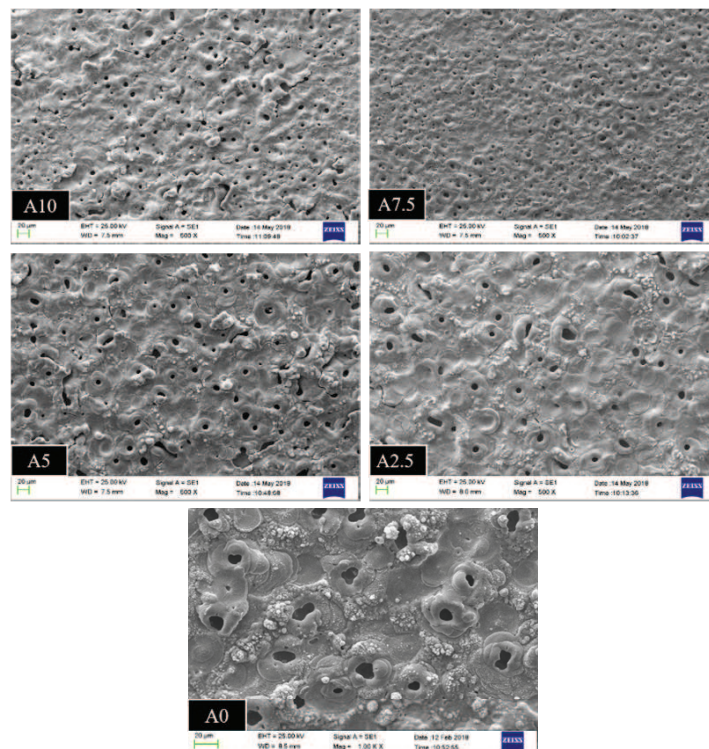


الکترولیز، مذاب اکسید حاصل از دما، فشار موضعی پلاسمای و میکرو ترک‌های ایجاد شده در اثر تنش حرارتی ناشی از سریع سرد شدن مذاب اکسید، باعث ایجاد حفرات و میکرو ترک بر روی سطح می‌گردد [۲۰]. همچنین به دلیل حضور آلومینات به‌عنوان فاز تثبیت‌کننده فاز تتراگونال در داخل الکترولیت میزان بیشتری از استحاله تتراگونال به مونوکلینیک تبدیل شده و تنش‌های حرارتی ایجاد شده در اثر این استحاله میکرو ترک‌های متعددی بر روی پوشش می‌کند. اما به دلیل تفاوت در الکترولیت مورد استفاده برای هر یک از نمونه‌ها شکل توزیع حفرات و همچنین ضخامت پوشش‌های ایجاد شده متفاوت خواهد بود. با توجه به نتایج تصاویر مورفولوژی میکروسکوپ الکترونی روبشی پوشش حاصل از روش PEO با تغییر غلظت سدیم آلومینات در الکترولیت، تغییر می‌کند.

فاز تتراگونال حاصل شده است. این رفتار را می‌توان بر اساس عملکرد یون آلومینیوم در هر یک از الکترولیت‌ها توجیه نمود؛ بنابراین مشاهده شد که از یک طرف با حضور یون آلومینیوم و از طرف دیگر اکسیداسیون در دماهای بالا منجر به تثبیت فاز تتراگونال (شدیداً کریستالی بوده) می‌شود.

### ۳-۳- ساختار پوشش سرامیکی

شکل ۴ و شکل ۵ تصاویر میکروسکوپ الکترونی روبشی سطحی و سطح مقطع پوشش‌های شکل گرفته در الکترولیت‌های مختلف را نشان می‌دهد. در هر پنج پوشش ساختار شبه آتشفشانی شامل اکسیدها و کانال‌های تخلیه در اطراف دهانه‌های کانال‌های آتشفشانی مشاهده شد. تشکیل این ساختار به دلیل ماهیت روش PEO و آزاد شدن گاز در طول فرآیند اکسیداسیون است. به طوری که خروج گاز اکسیژن در اثر فرآیند

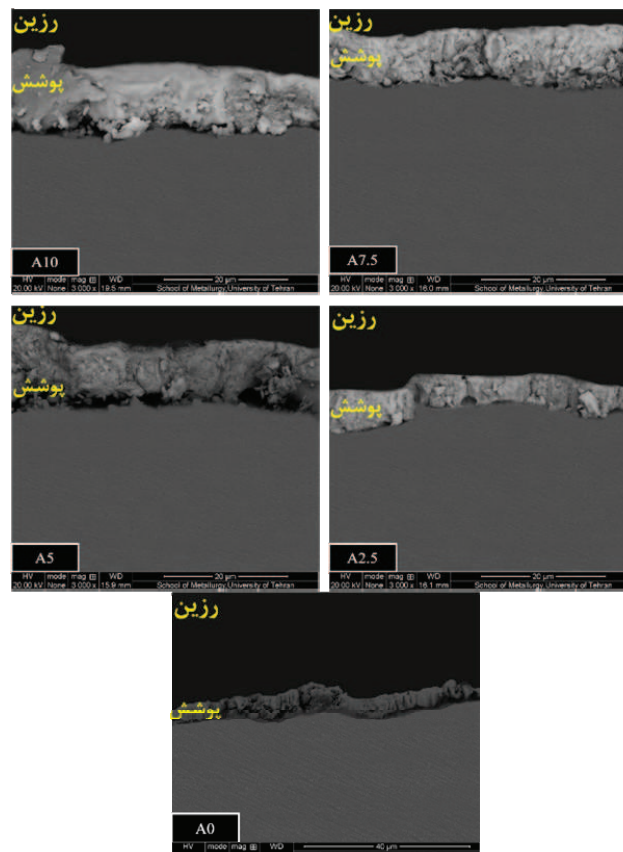


شکل ۴- مورفولوژی سطح و آنالیز تصویری تخلخل پوشش‌های PEO در الکترولیت‌های مختلف سیلیکاتی-آلومیناتی



روش PEO، سرعت تشکیل فیلم وابسته به هدایت یونی الکترولیت و سرعت انحلال فیلم تحت تأثیر شدت میدان الکتریکی است [۱۷]. بر این اساس در مقایسه نمونه A10 با سایر نمونه‌ها می‌توان گفت که به دلیل بیشتر بودن هدایت یونی الکترولیت و ثابت بودن میدان الکتریکی، سرعت تشکیل فیلم در این نمونه نسبت به سایر نمونه‌ها بیشتر بوده است. در نتیجه نمونه A10 بالاترین ضخامت پوشش را نشان می‌دهد. در واقع با افزایش غلظت سدیم آلومینات و افزایش هدایت یونی الکتریکی، نرخ تشکیل فیلم از نرخ انحلال فیلم اکسیدی پیشی گرفته و منجر به تشکیل پوشش ضخیم‌تر می‌شود.

اندازه ضخامت پوشش‌ها بر اساس تصاویر میکروسکوپ الکترونی روبشی محاسبه و به ترتیب برای نمونه‌های A0، A2/5، A5، A7/5 و A10 به ترتیب ۳/۷۱، ۵/۲۷، ۹/۷، ۱۲ و ۱۲/۲ میکرومتر محاسبه و ثبت شد. افزایش در غلظت سدیم آلومینات سبب افزایش در ضخامت پوشش اعمالی از ۳/۷۱ μm تا ۱۲/۲ μm می‌شود. با افزایش غلظت سدیم آلومینات فرایند اکسیداسیون فلز سریع‌تر صورت گرفته و ضخامت لایه اکسیدی افزایش می‌یابد. مکانیسم تشکیل فیلم PEO و تغییر ضخامت پوشش شامل دو فرایند رقابتی شکل‌گیری و انحلال لایه اکسیدی در اثر قرارگیری تحت میدان الکتریکی است. در فرایند پوشش دهی به



شکل ۵- تصاویر سطح مقطع نمونه‌های پوشش دهی شده در غلظت‌های مختلف الکترولیت سیلیکاتی-آلومیناتی

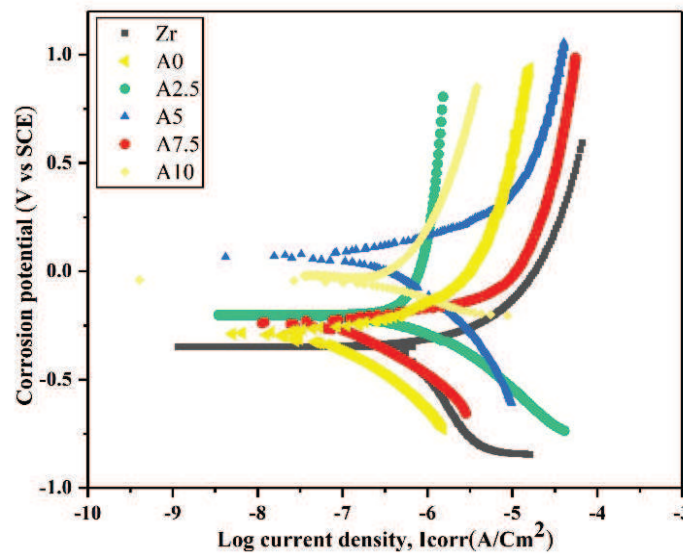


### ۳-۴- بررسی رفتار خوردگی

برای بررسی مقاومت به خوردگی پوشش‌های ایجاد شده از روش پلاریزاسیون پتانسیودینامیک استفاده گردید. شکل ۵ منحنی پلاریزاسیون پوشش‌های PEO روی فولاد آلومینایز شده را در محلول ۰/۵ مولار لیتیوم هیدروکسید نشان می‌دهد.

نتایج نشان داد که هر پنج نمونه پوشش دهی شده به روش PEO مقاومت خوردگی بهتری را نسبت به نمونه بدون پوشش نشان می‌دهد. نمونه بدون پوشش به دلیل در معرض قرار گرفتن مستقیم با محیط خورنده بیشترین مقدار جریان خوردگی ( $1/22 \times 10^{-6}$ ) و کمترین مقدار پتانسیل خوردگی

( $-0/53$ ) را نشان داد. نمونه A0 به دلیل داشتن کمترین ضخامت و همچنین و کمترین مقدار فاز تراگونال بیشترین مقدار جریان خوردگی ( $6/79 \times 10^{-6}$ ) را نسبت به سایر نمونه‌های پوشش دهی شده نشان می‌دهد. حفرات و میکرو ترک‌ها مکان‌های مناسبی برای نفوذ مواد خورنده به داخل پوشش و در نتیجه کاهش مقاومت به خوردگی پوشش است. در نمونه A10 از طرفی با افزایش میزان زیرکونیای تراگونال به دلیل ساختار فشرده و منحصربه‌فرد نسبت این فاز و همچنین بیشترین ضخامت پوشش کمترین جریان خوردگی ( $0/15$ ) را نسبت به سایر نمونه‌های پوشش دهی شده نشان داد.



شکل ۶- منحنی‌های پلاریزاسیون نمونه بدون پوشش و دارای پوشش بعد از غوطه‌وری در محلول LiOH

### ۴- نتیجه‌گیری

در این تحقیق به بررسی میزان فاز تثبیت‌شده تراگونال و خواص خوردگی پوشش‌ها سرامیکی از طریق روش اکسیداسیون الکترولیتی پلاسمایی بر روی فلز آلیاژ زیرکونیوم zircaloy-4 در غلظت‌های مختلف

الکترولیت سیلیکاتی-آلمیناتی پرداخته شد. فاز غالب در پوشش‌های ایجاد شده در الکترولیت آلمیناتی و سیلیکاتی مونوکلینیک می‌باشد. همچنین با افزایش غلظت یون آلومینیوم در الکترولیت میزان فاز کریستالی تراگونال بیشتر می‌شود. نتایج حاصل از تصاویر میکروسکوپ الکترونی



formed in pure water studied with synchrotron radiation and optical microscopy: relation to corrosion rate”, *Journal of Nuclear Materials*, Vol.324(1),pp.6-22,2004.

- [5] D. G. Franklin, P. Lang, “Zirconium-alloy corrosion: A review based on an international atomic energy agency (IAEA) meeting. in Zirconium in the Nuclear Industry”, Ninth International Symposium, ASTM International, 1991.

[۶] رویا روحانی، هادی عادل خانی، محسن اسدی اسد آباد، مجید منجمی، "مطالعه مقاومت خوردگی پوشش‌های نانو ساختار کاربرد زیرکونیم"، علم و مهندسی سرامیک، ۵، ۶۱-۷۳، (۱۳۹۵)

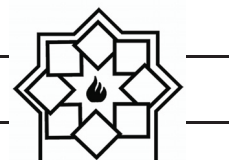
- [7] Y. Yan, Y. Han, D. Li, J. Huang, Q. Lian, “Effect of  $\text{NaAlO}_2$  concentrations on microstructure and corrosion resistance of  $\text{Al}_2\text{O}_3/\text{ZrO}_2$  coatings formed on zirconium by micro-arc oxidation”, *Applied Surface Science*, Vol.256(21),pp.6359-6366,2010.

- [8] L. O. Snizhko, A. L. Yerokhin, A. Pilkington, N. L. Gurevina, D. O. Misnyankin, A. Leyland, A. Matthews, “Anodic processes in plasma

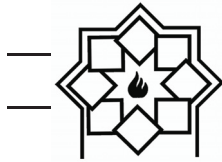
نشان داد که با افزایش غلظت سدیم آلومینات ضخامت پوشش سرامیکی افزایش می‌یابد. افزایش میزان فاز تتراگونال و ضخامت پوشش باعث بهبود عملکرد رفتار خوردگی می‌شود.

## مراجع

- [1] C.Lemaignan, A.T. Motta, “Zirconium alloys in nuclear applications,” *Materials science and technology; Nuclear Materials II*, R.W. Cahn et al., Ed., VCH, pp.1-51,1994.
- [2] A. T. Motta, A. Yilmazbayhan, M. J. Gomes da Silva, R. J. Comstock, G. S. Was, J. T. Busby, E. Gartner, Q. Peng, Y. H. Jeong, J. Y. Park, “Zirconium alloys for supercritical water reactor applications: Challenges and possibilities”, *Journal of Nuclear Materials*, Vol. 371(1-3),pp.61-75,2007.
- [3] B. Raj, U. K. Mudali, “Materials development and corrosion problems in nuclear fuel reprocessing plants”, *Progress in Nuclear Energy*, Vol. 48(4),pp.283-313,2006.
- [4] A. Yilmazbayhan, A. T. Motta, R. J. Comstock, G.P. Sabol, B. Lai, Z. Cai, “Structure of zirconium alloy oxides



- formed on Zircaloy-2 by plasma electrolytic oxidation in sodium aluminate electrolytes”, *Electrochimica Acta*, Vol. 116, pp453-466, 2014.
- [13] Y. Cheng, E. Matykina, R. Arrabal, P. Skeldon, G. E. Thompson, “Plasma electrolytic oxidation and corrosion protection of Zircaloy-4”, *Surface and Coatings Technology*, Vol. 206(14), pp.3230-3239, 2012.
- [14] A. V. Apelfeld, A. A. Ashmarin, A. M. Borisov, A. V. Vinogradov, S. V. Savushkina, E. A. Shmytkova, “Formation of zirconia tetragonal phase by plasma electrolytic oxidation of zirconium alloy in electrolyte comprising additives of yttria nanopowder”, *Surface and Coatings Technology*, Vol. 328, pp.513-517, 2017.
- [15] S. Arun, T. Arunnellaiappan, N. Rameshbabu, “Fabrication of the nanoparticle incorporated PEO coating on commercially pure zirconium and its corrosion resistance”, *Surface and Coatings Technology*, Vol. 305, pp.264-273, 2016.
- [16] B. Cox, Y. M. Wong, “Effects of LiOH electrolytic oxidation of aluminium in alkaline solutions”, *Electrochimica Acta*, Vol. 49(13), pp.2085-2095, 2004.
- [9] E. Matykina, I. Garcia, R. Arrabal, M. Mohedano, B. Mingo, J. Sancho, M.C. Merino, A. Pardo, “Role of PEO coatings in long-term biodegradation of a Mg alloy”, *Applied Surface Science*, Vol. 389, pp.810-823, 2016.
- [10] M. Montazeri, C. Dehghanian, M. Shokouhfar, A. Baradaran, “Investigation of the voltage and time effects on the formation of hydroxyapatite-containing titania prepared by plasma electrolytic oxidation on Ti-6Al-4V alloy and its corrosion behavior”, *Applied Surface Science*, Vol. 257(16), pp.7268-7275, 2011.
- [11] علی عیوض زاده، چنگیز دهقانیان، هادی عادل خانی " ایجاد پوشش اکسید زیرکونیوم در سطح زیرکالوی-4 به روش اکسیداسیون پلاسمایی الکترولیتی (PEO) و بررسی اثر غلظت تتراسدیم پیروفسفات ( $Na_4P_2O_7$ ) بر ساختار و رفتار خوردگی پوشش، علوم و مهندسی خوردگی، ۲۵، (۱۳۹۷)
- [12] Y. Cheng, J. H. Cao, Z. M. Peng, E. Matykina, P. Skeldon, G.E. Thompson, “Wear-resistant coatings



- on pretransition zirconium oxide films. in Zirconium in the Nuclear Industry”, Ninth International Symposium, ASTM International, 1991.
- [17] K. Venkateswarlu, N. Rameshbabu, D. Sreekanth , A.C. Bose, V. Muthupandi, N.K. Babu, S. Subramanian, “Role of electrolyte additives on in-vitro electrochemical behavior of micro arc oxidized titania films on C<sub>p</sub> Ti’, Applied Surface Science, Vol. 258(18),pp.6853-6863,2012.
- [18] S. Ikonopisov, “Theory of electrical breakdown during formation of barrier anodic films’, Electrochimica Acta, Vol. 22(10),pp.1077-1082,1977.
- [19] R. C. Garvie, P. S. Nicholson, “Phase analysis in zirconia systems”, Journal of the American Ceramic Society, Vol. 55(6),pp.303-305,1972.
- [20] G. Lv, H. Chen, W. Gu, W. Feng, L. Li, E. Niu, X. Zhang, S. Yang, “Effects of graphite additives in electrolytes on the microstructure and corrosion resistance of Alumina PEO coatings”, Current Applied Physics, Vol. 9(2),pp.324-328,2009.